

# РАСПРЕДЕЛЕНИЕ ЗАРЯДА И ХИМИЧЕСКАЯ СВЯЗЬ В TlSe

*Г.С. Оруджев, Ш.М. Эфендиеев, З.А. Джахангиров*

Азербайджанский технический университет, Баку

Поступило в Редакцию 6 июня 1994 г.

В настоящем сообщении приведены результаты расчета распределения электронного заряда для соединений TlSe. Селенид таллия относится к группе полупроводниковых соединений  $A^{III}B^{VI}$  с цепочечной структурой. Кристаллическая решетка TlSe — объемноцентрированная тетрагональная. Пространственная группа симметрии —  $D_{4h}^{18}$  ( $14/mcm$ )<sup>[1]</sup>. В этой структуре половина атомов Tl(Tl<sub>I</sub>) располагается в центрах слегка деформированных и скрученных на малый угол кубов с восемью атомами Se в вершинах, вторая половина атомов Tl(Tl<sub>II</sub>) расположена в центрах тетраэдров из Se и образует с окружающими их атомами селена цепочки Se—Tl<sub>II</sub>—Se<sup>[2]</sup>. Ниже приведены параметры решетки и координаты атомов Tl и Se в элементарной ячейке селенида таллия, при этом начало координат выбрано посередине между атомами Tl<sub>II</sub> на тетрагональной оси.

$$\begin{aligned} \text{Tl}_I : & a(1, 0, u/2) & a(-1, 0, -u/2), \\ \text{Tl}_{II} : & a(0, 0, u/2) & a(0, 0, -u/2), \\ \text{Se} : & a(\lambda, \lambda, u) & (-\lambda, -\lambda, -u), \\ & a(\lambda, -\lambda, 0) & (-\lambda, \lambda, 0), \end{aligned}$$

где  $\lambda = 0.358$ ,  $u = c/a = 0.873$ ,  $2a = 8.02$  и  $2c = 7.00 \text{ \AA}$  — длины ребер тетрагональной ячейки.

Расчет зонной структуры TlSe приведен нами ранее в<sup>[3]</sup> методом псевдопотенциала с учетом 310 плоских волн в разложении волновой функции электрона. Распределение заряда рассчитано с использованием псевдопотенциальных волновых функций, полученных из зонных расчетов.

Зарядовая плотность рассчитывалась по формуле

$$\rho(r) = \sum_n \sum_j \alpha_j |\psi_{nk_j}(r)|^2,$$

где  $\alpha_j$  — весовые множители специальных точек зоны Бриллюэна,  $\psi_{nk}(r)$  — волновые функции электронов валентной зоны. Специальные точки  $k_j$  для точек зоны Бриллюэна объемноцентрированной тетрагональной решетки определены нами по схеме, предложенной в<sup>[4]</sup>. Собственные функции и собственные значения находились в следующих точках зоны Бриллюэна:  $k_1 = (0, 0, 0)$ ,  $k_2 = (1/2, 1/2, 1/2)$  с весом  $\alpha = 1/8$ ,  $k_3 = (0, 1/2, 0)$  с весом  $\alpha = 1/2$ ,  $k_4 = (0, 0, 1/2)$  с весом  $\alpha = 1/4$ , координаты точек приведены в единицах  $b_1$ ,  $b_2$ ,  $b_3$ , где  $b_1 = \pi(0, 1/a, 1/c)$ ,  $b_2 = \pi(1/a, 0, 1/c)$ ,  $b_3 = \pi(1/a, 1/a, 0)$ .

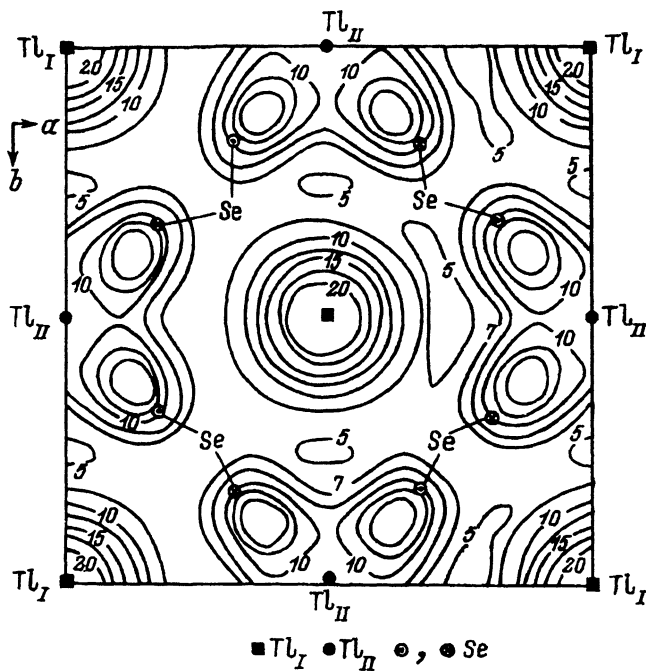


Рис. 1. Распределение заряда валентных электронов TlSe на плоскости симметрии (001), проходящих через атомы Tl<sub>I</sub> и Tl<sub>II</sub>. Атомы Se находятся на плоскостях (001), проходящих через  $(0\ 0 \pm 1/4)$ . Расстояние между соседними изолиниями —  $0.3\ e/\Omega$ .

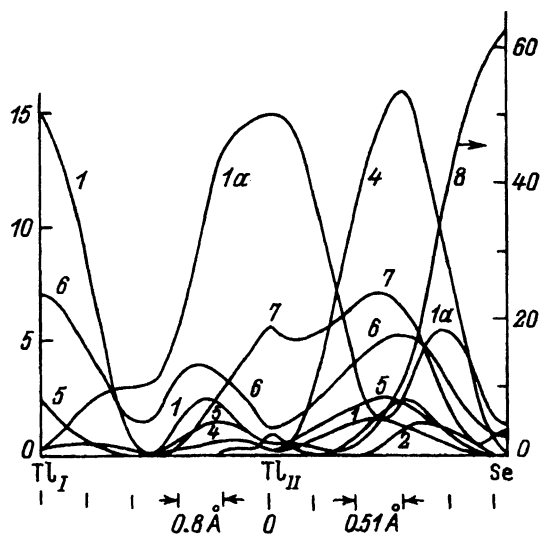


Рис. 2. Распределение заряда вдоль направлений связи для первых двух зон проводимости (1 $\alpha$ ) (левая ось), и валентных зон 1-2 (1), 3-4 (2), 5-6 (3), 7-8 (4), 9-10 (5), 11-12 (6), 13-14 (7), 15-18 (8) (правая ось).

На рис. 1 приведено распределение плотности заряда всех валентных электронов на плоскости симметрии (001), проходящей через атомы Tl<sub>I</sub> и Tl<sub>II</sub>. Картина распределения зарядов показывает наличие заметного максимума на линии, соединяющей атомы Tl<sub>II</sub> и Se, что свидетельствует о ковалентности связи между этими атомами. Тем временем атомы Tl<sub>I</sub> стоят обособленно и не участвуют в образовании ковалентных связей.

Нами рассчитано также распределение заряда для отдельных групп валентных зон вдоль направлений Tl<sub>I</sub>-Tl<sub>II</sub>-Se (рис. 2).

По характеру распределения заряда самых верхних валентных зон 1-2 (кривая 1) и первых двух зон проводимости (кривая 1а) около атомов Tl<sub>I</sub> и Tl<sub>II</sub> можно сделать вывод о том, что эти зоны обязаны своим происхождением *s*-состояниям атомов Tl<sub>I</sub> и Tl<sub>II</sub> соответственно.

Кривая 8 (рис. 2) изображает распределение заряда четырех самых нижних валентных зон. Видно, что заряд этих зон по мере удаления от атома Se резко спадает, что указывает на происхождение данных зон из *s*-состояний Se.

Ход кривых для всех остальных групп валентных зон вдоль направлений связей Tl<sub>II</sub>-Se практически совпадает. Почти посередине направлений Tl<sub>II</sub>-Se имеется ярко выраженный максимум, что свидетельствует об их вкладе в связывающие состояния и о ковалентности связи между атомами Tl<sub>II</sub> и Se.

В [5] была предложена модель химической связи кристаллов типа TlSe, и на их основе были объяснены полупроводниковые свойства этих соединений. Согласно этой модели, половина атомов Tl(Tl<sub>I</sub>) отдает свой внешний *p*-электрон другим атомам Tl(Tl<sub>II</sub>), превращаясь при этом в ион Tl<sup>1+</sup>. Ионы Tl<sup>1+</sup>, обладая четырьмя электронами, приобретают *sp*<sup>3</sup>-конфигурацию и имеют возможность образовать тетраэдрические связи с атомами Se. Таким образом, образуются цепи из тетраэдров, вытянутые вдоль тетрагональной оси, С. Однозарядные ионы Tl<sup>1+</sup> локализуются между этими цепями, оставаясь при этом в окружении восьми атомов Se, и не принимают участия в ковалентной связи.

В заключение благодарим Ф.М. Гашим-заде за ценные советы и плодотворное обсуждение данной работы.

#### Список литературы

- [1] Ормонт Б.Ф. Структуры неорганических веществ. М.-Л.: ГИТТЛ, 1950.
- [2] Ketelaar J.A.A., Hart W.H., Moore R., Polder D. // Z. Krisrallogr. A. 1939. V. 101. P. 396-404.
- [3] Гашим-заде Ф.М., Оруджев Г.С. // ФТП. 1981. Т. 15. № 7. С. 1311-1315.
- [4] Эварестов Р.А., Смирнов В.П. Методы теории групп в квантовой химии твердого тела. Л., 1987. С. 375.
- [5] Mooser E., Pearson W. // J. Electron. 1956. V. 1. P. 629.